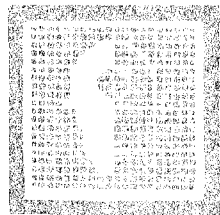


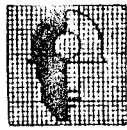
MAPA GEOLOGICO DE ESPAÑA
INFORMACION COMPLEMENTARIA
FONSAGRADA
(74) (09-06)

ALBUM DE FOTOGRAFIAS

1.976



IMINSA

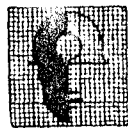


IMINSA

- 2074

FOTOGRAFIAS DE

CAMPO



IMINSA

- 20074

HOJA 09-06

FONSAGRADA

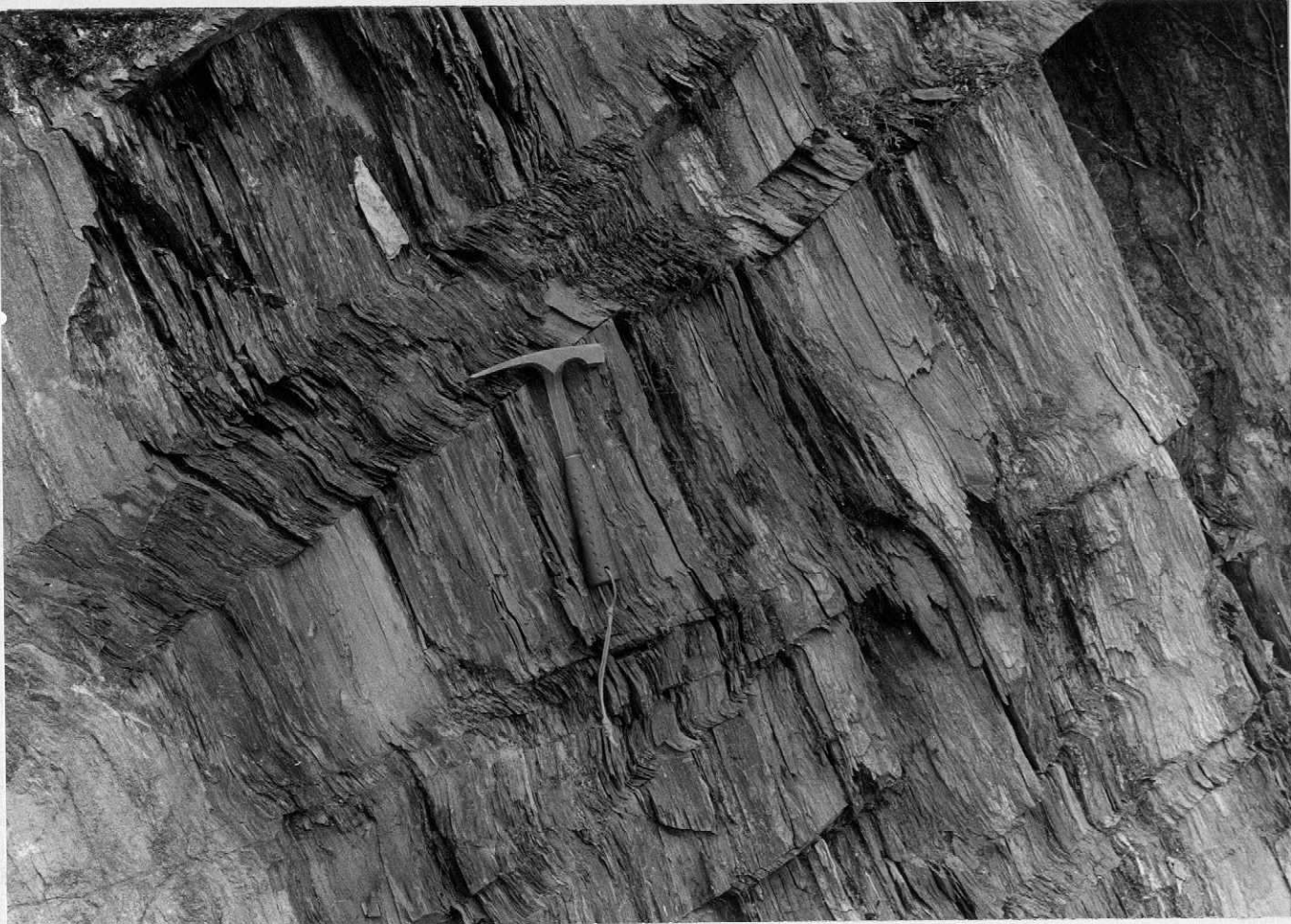
INFORMACION COMPLEMENTARIA



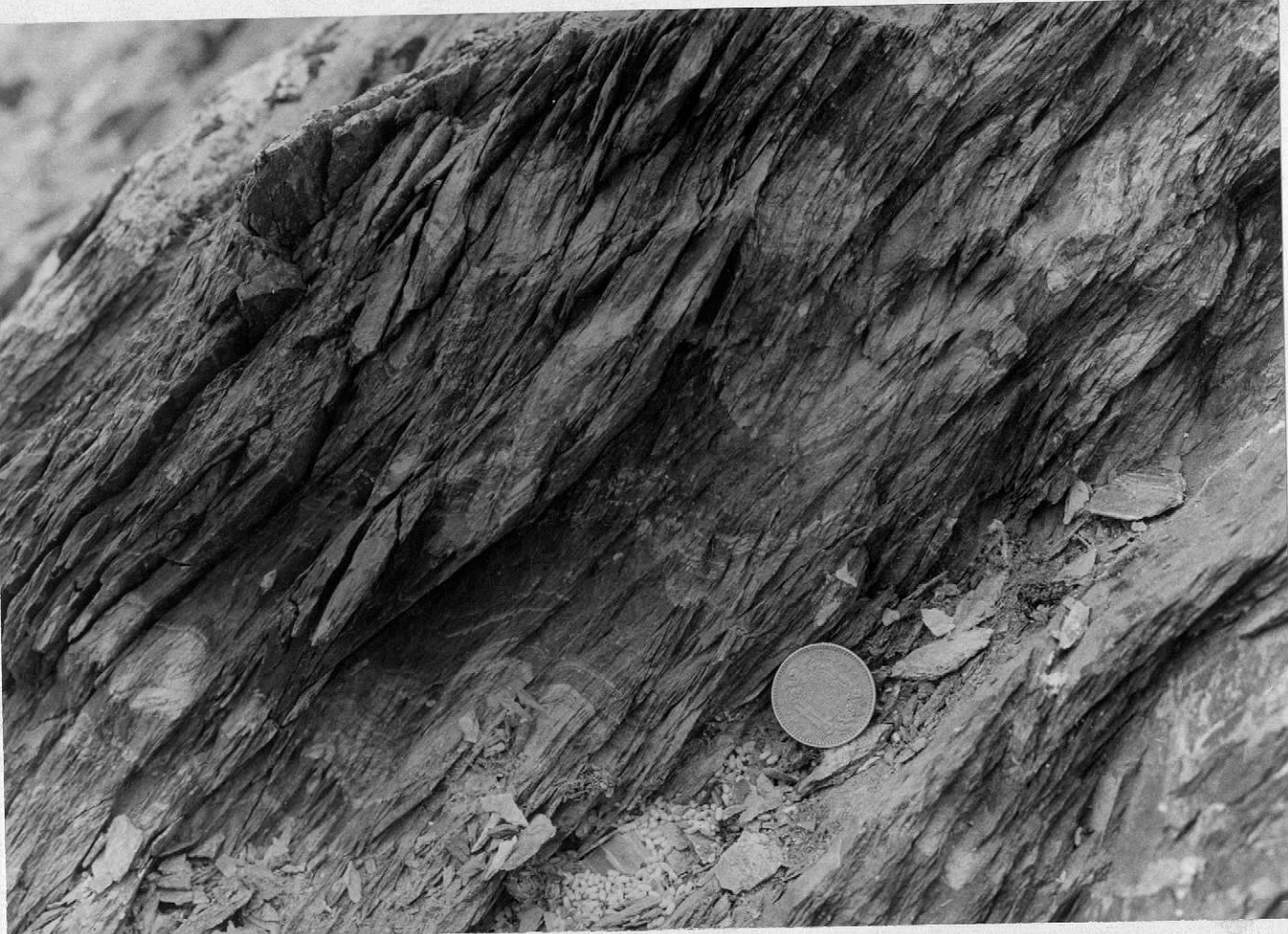
FJ-0030. - Aspecto que presentan las ampelitas silúricas en el sinclinal de Villaodrid. Carretera Fonsagrada-Lugo, cerca de Montouto. ($S_1^{I2} - S_{12}^3$)



FJ-0031. - Ver FJ-0030



FJ-0032. - Kink-bands desarrollados en las Pizarras de Luarca y en los que se observa la intersección de pares de bandas de kink formado entre ellas un ángulo bajo y fusionándose en una banda considerablemente más ancha (O_2)



FJ-0033. - Fuerte esquistosidad de flujo, correspondiente a la primera fase de deformación herciniana, afectando a un tramo pelítico con intercalaciones arenosas de la Serie de los Cabos. Se observa que la esquistosidad presenta una disposición de plano axial respecto a los pequeños pliegues que se evidencian en las capas y laminaciones arenosas (CA₂-O₁P)



FJ-0034. - Vista panorámica de las cuarcitas culminantes de la Serie de los Cabos en el flanco occidental del sinclinal de Villaodrid. Extremo meridional de la hoja (O_1)



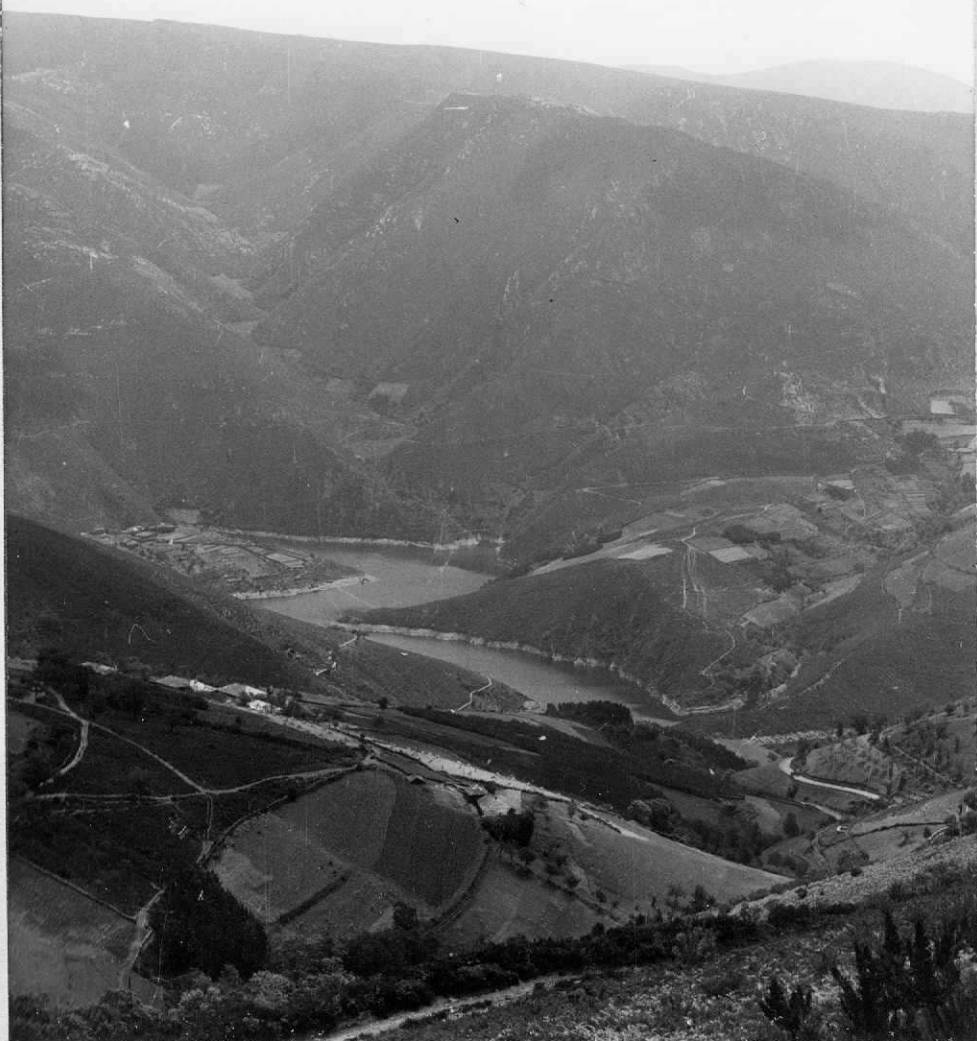
FJ-0035. - Vista panorámica de las Pizarras de Luarca sobre la margen derecha del río Navia en Vilaseca (O₂)

FJ-0036. - "Ripple casts" longitudinales a la dirección de las paleocorrientes en la Formación Agüera cerca del puente Boadil (0₂₋₃)



FJ-0037. - Detalle de la fotografía anterior (0₂₋₃)





FJ-0038. - Vista panorámica de las Pizarras de Luarca (relieves del fondo) y de la Formación Agüeira (ocupando las tierras de labor) (O_2 y O_{2-3})



FJ-0039. - Cuarcitas ordovícicas horizontales en la bóveda del anticlinal de San Martín al S de Riodeporcos. Por encima son claramente visibles las Pizarras de Luarca. (O_1 y O_2)



FJ-0040. - Ver FJ-0039



FJ-0041. - Flexiones de tercera fase en las cuarcitas ordovícicas en la terminación periclinal del anticlinal de San Martín al S de Riodeporcos. (O₁)



FJ-0042. - Bóveda en las cuarcitas ordovícicas del anticlinal de San Martín
al S de Riodeporcos (O₁)



FJ-0043. - Niveles pizarrosos en la Serie de los Cabos cerca de Villaselande
(CA_2 - O_1 p)



FJ-0044. - Niveles pizarrosos cerca de la base de la Serie de los Cabos en los
alrededores de Folgueiras de Cotos (CA₂-O₁p)



FJ-0045. - Pliegues en los niveles cuarcíticos de la Serie de los Cabos al
N de Santa Comba de Cotos (CA₂-O₁P)



FJ-0046. - Afloramiento de la Caliza de Vegadeo cerca de la fuente Viarega,
al S de Cotos (CA₂-O₁P)



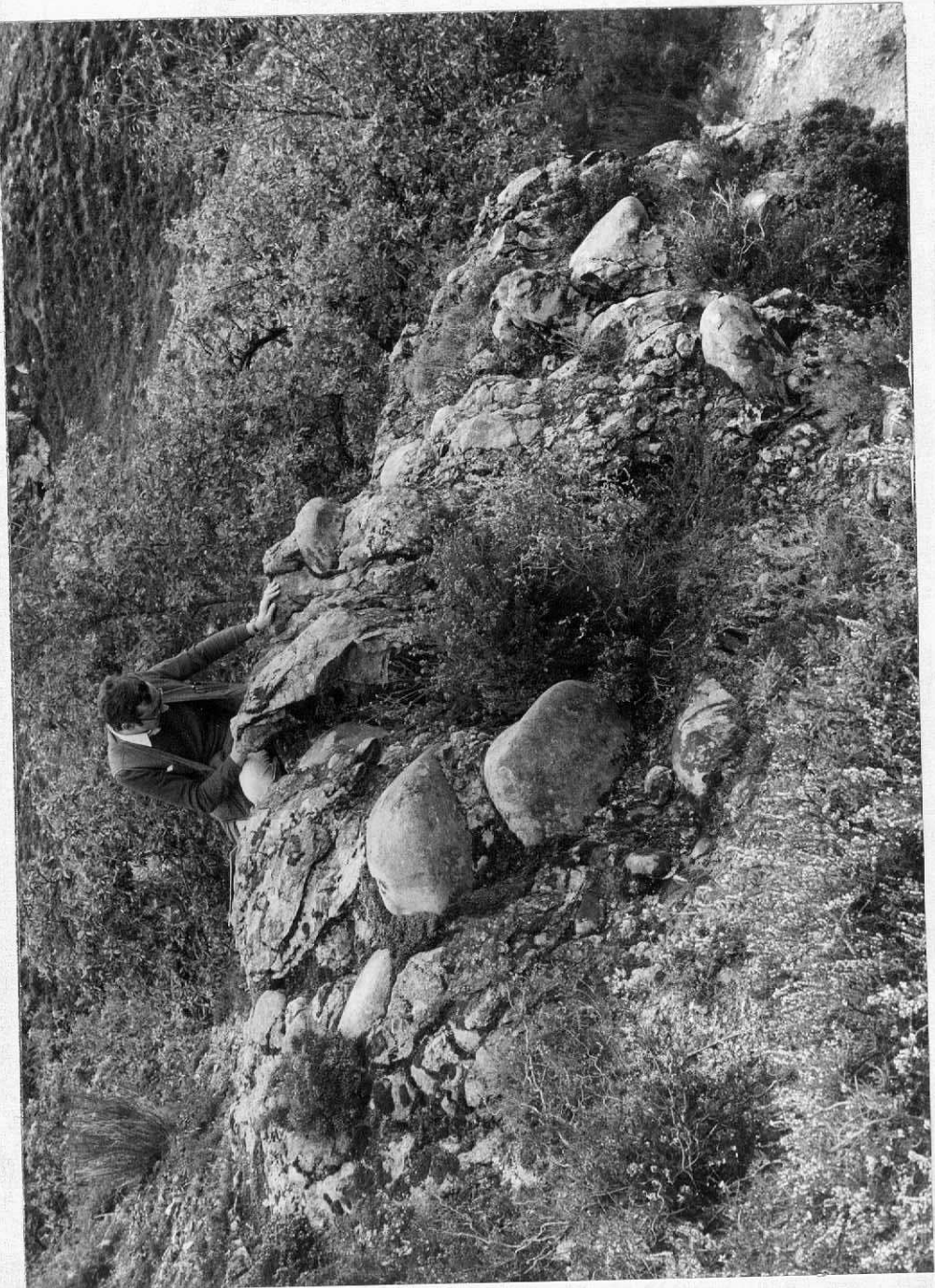
FJ-0047. - Afloramiento de cuarcitas ordovícica en el Chao do Cabeiro,
al N de Mosteiro (O₁)



FJ-0048. - Contacto discordante del Estefaniense sobre las ampelitas silúricas en Mosteirin ($S_1^{12} - S_{12}^3$ y $H_{33}^B - H_{34}^B$)



FJ-0049. - Ver FJ-0048



FJ-0050. - Aspecto de los conglomerados estefanienses en Mosteirin
(H₃₃^B - H₃₄^B)



MV-2007. - Niveles de cuarcitas en la Formación Agueira cerca de Bustelo del Camino. (0₂₋₃c)



MV-2008. - Detalle de uno de los niveles cuarcíticos intercalados en la Formación Agueira. Nótese el gran espesor de alguno de los bancos y la presencia de laminación paralela como estructura sedimentaria interna más destacable, Bustelo del Camino (0_{2-3}^c)



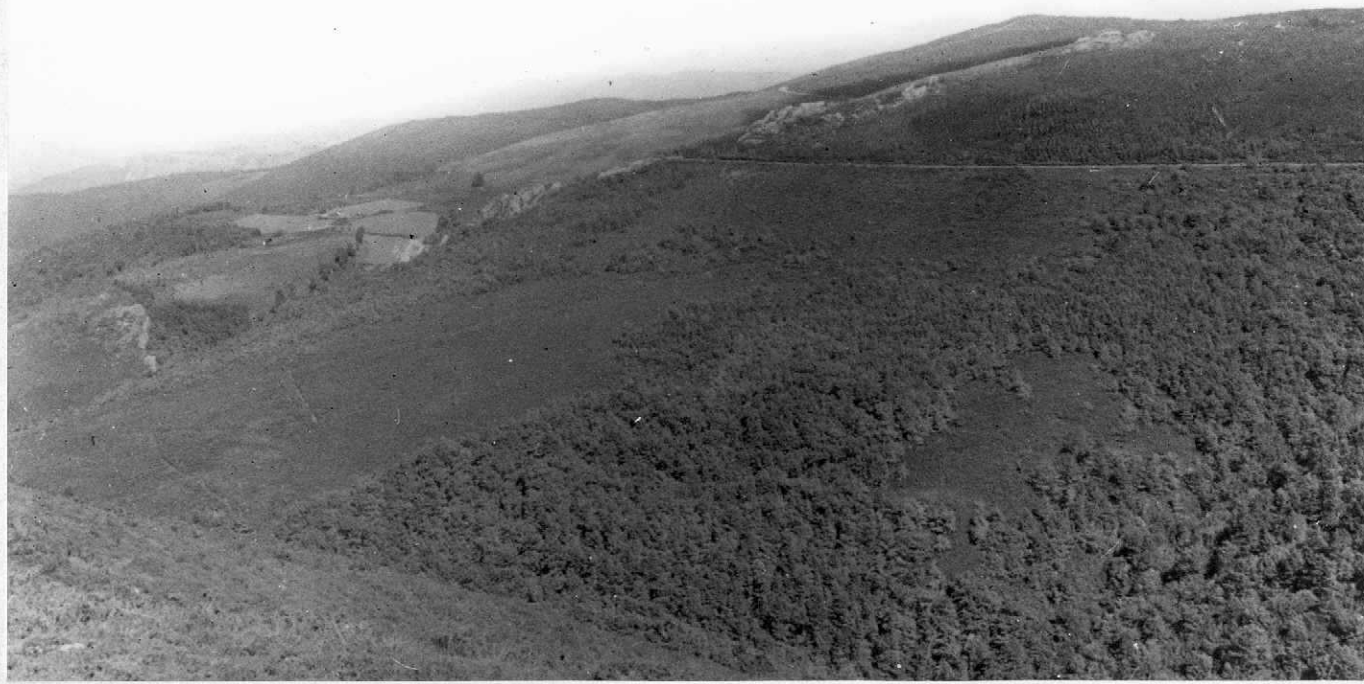
MV-2009. - Ver MV-2008



MV-2010. - Aspecto en el campo de los niveles cuarcíticos intercalados en la Formación Agueira. Monte Zarro (O₂₋₃c)



MV-2011. - La planicie de los Oscos vista desde el Acebo



MV-2012. - La cuarcita ordovícica del flanco W del anticlinal de San Martín (0₁)



MV-2013. - Aspecto de las capas inferiores del Eo en el Monte das Penas de Ferreira en la parte W de la hoja (O₁as)



MV
2014

MV-2014. - Aspecto que presentan en el campo las capas de Villamea, en la Serie de los Cabos. Nótese la existencia de esquistosidad subvertical oblicua a la estratificación y estructuras tardías subhorizontales (CA₂₋₀₁p)

MV-2015. - Zona de trituración en una fractura tardía al E de Paradavella

MV
2015





MV
2016

MV-2016. - Kink bands subhorizontales en las capas de Villamea al E de Paradavella (CA₂-O₁p)



MV-2017. - Diaclasas en las capas de Villamea. Se destaca el trazado sinuoso de las mismas como corresponde al desarrollo de estas estructuras en rocas incompetentes. Carretera Fonsagrada-Lugo al E de Paravella (CA₂-O₁P)



MV
2018

MV-2018. - Argayo originado por la excavación del camino vecinal de Paradavella a Souto y cerca de esta última localidad.



MV
2019

MV-2019. - Hill-side-creep en las pizarras de las Capas de Villamea cerca de Piñeira al N de Paradavella (CA₂-O₁P)



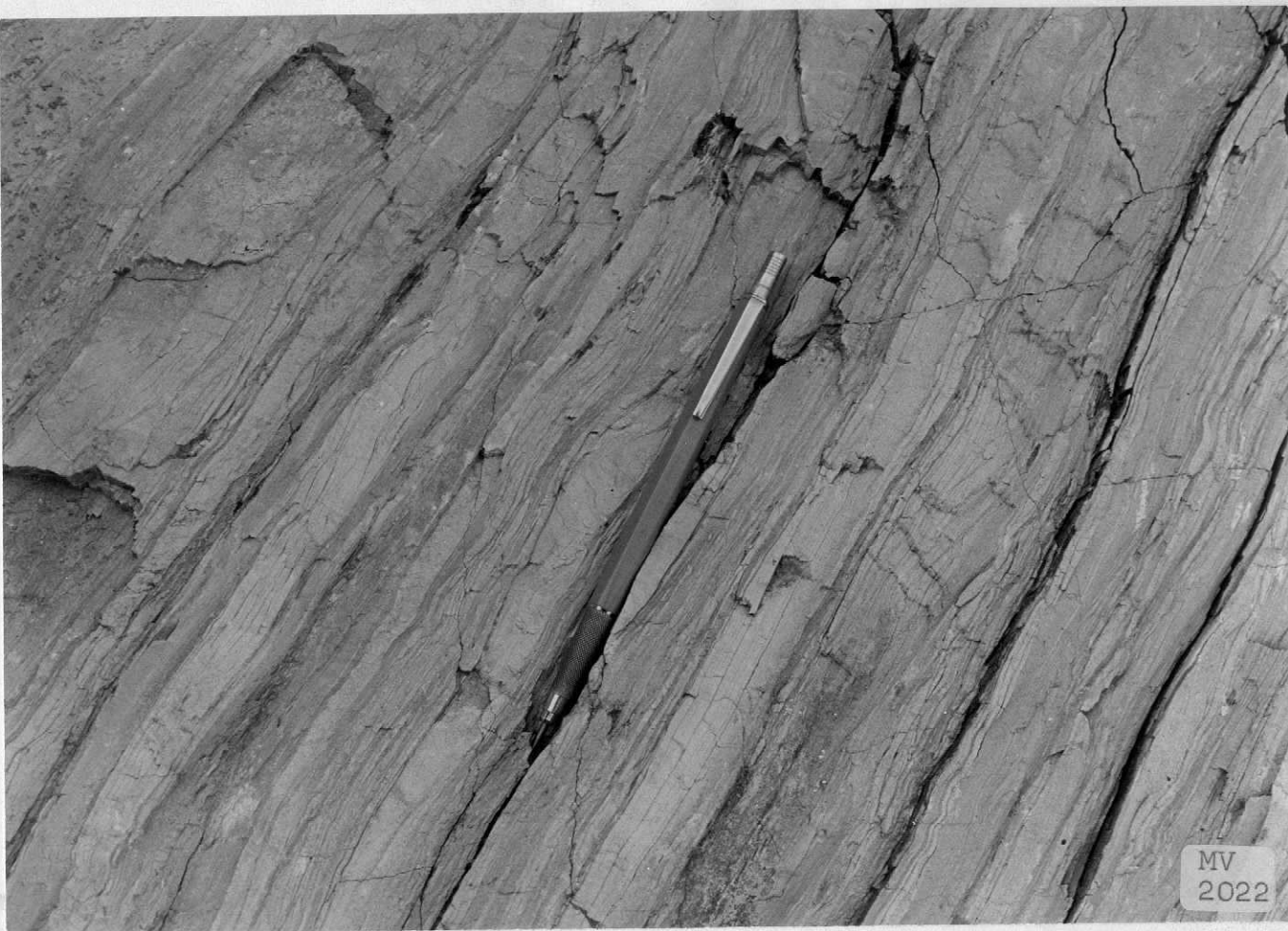
MV
2020

MV-2020. - Panorámica del Valle de Burón, ocupado por los niveles de pizarras verdes basales de la Serie de los Cabos y la Caliza de Vegadeo. Al fondo, Puebla de Burón (CA₁ y CA₁₋₂)



MV
2021

MV-2021. - Pliegue de primera fase en los niveles basales de las capas inferiores del Eo, en las laderas del Chao de Vilar (extremo SW de la hoja (0₁ as)

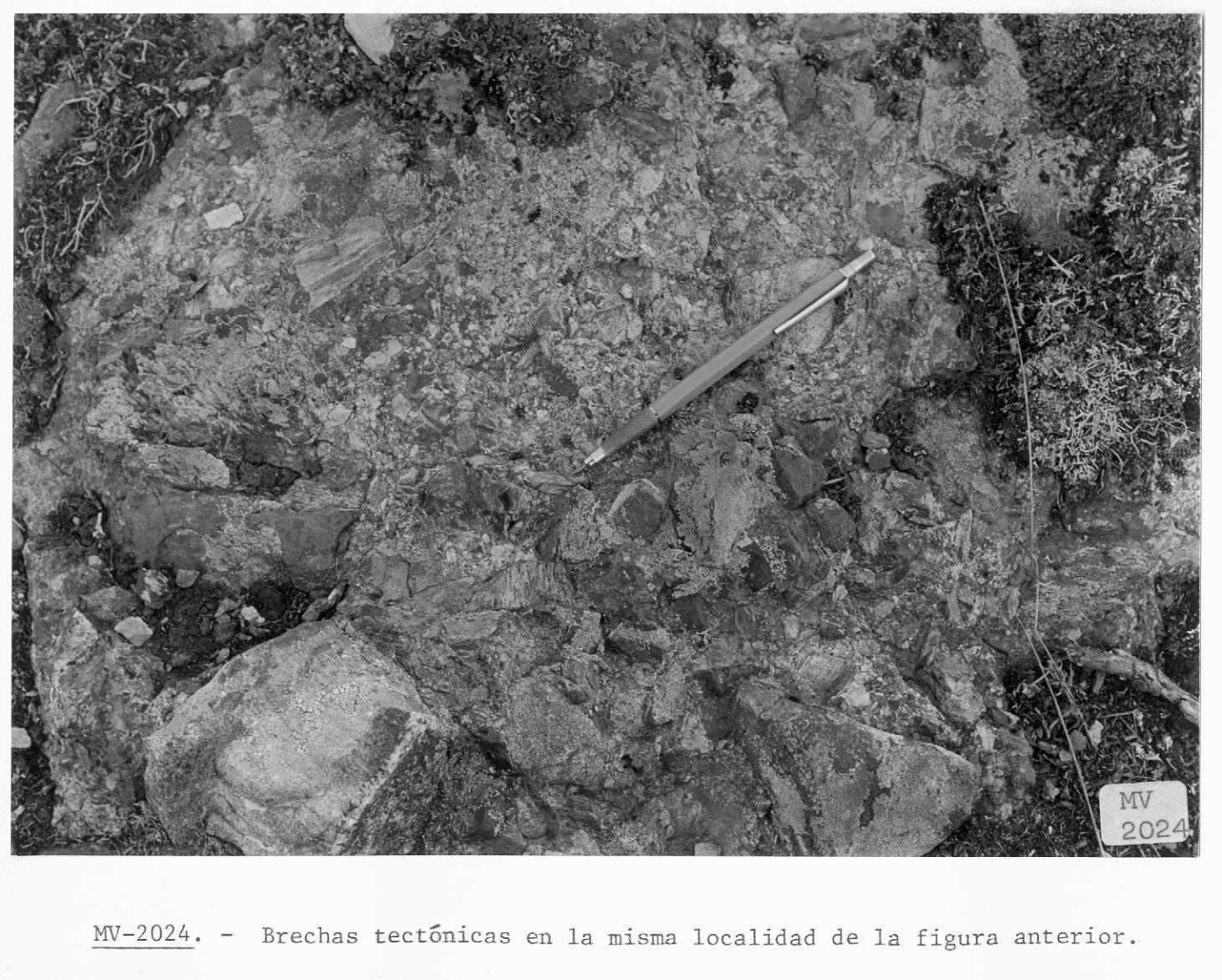


MV
2022

MV-2022. - Estructuras sedimentarias en las capas de Villamea. Se aprecia la existencia de niveles con laminación paralela, laminación cruzada y laminaciones tipo wavy y flaser (CA_2-O_1P)



MV-2023. - Cuarcitas ordovícicas intensamente brechificadas en los alrededores de Quixoiro al N de Fonsagrada (O₁)



MV
2024

MV-2024. - Brechas tectónicas en la misma localidad de la figura anterior.



MV-2025. - Kink bands tardíos subverticales en los niveles de pizarras verdes de la parte inferior de la Serie de los Cabos. Alrededores de Paradanova (CA₁₋₂)



MV
2026

MV-2026. - Niveles de pizarras masivas (O_2p) en las pizarras de Luarca.
Chao de Follais, cerca del Acebo.



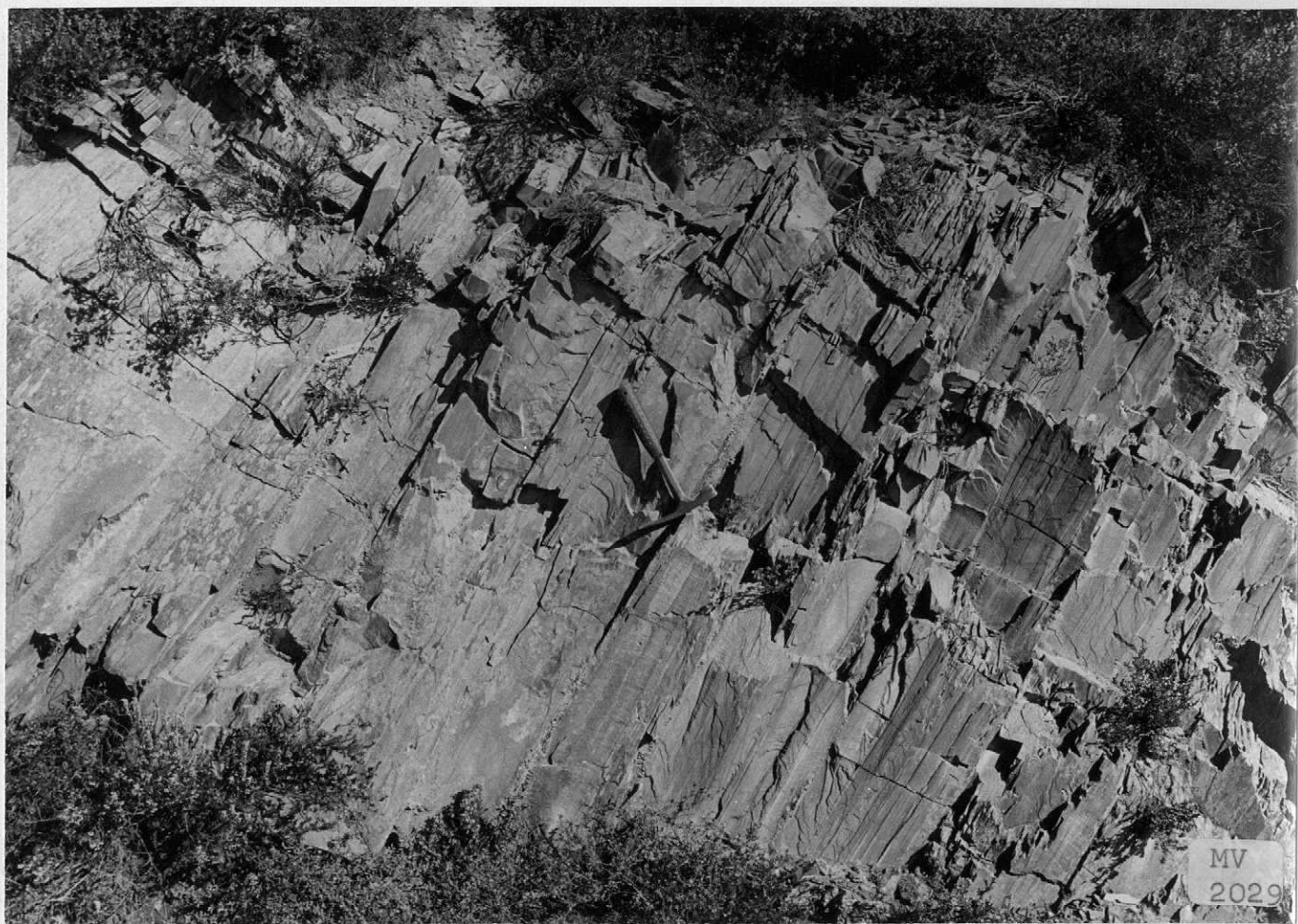
MV
2027

MV-2027. - Diaclasas E - W en la cuarcita ordovícica del flanco W del anticlinal de San Martín, cerca del Acebo. Destaca un trazado rectilíneo y su periodicidad (O_1)



MV
2028

MV-2028. - En primer término se observa el afloramiento de una brecha de falla cerca del caserío de Carbayín en la carretera del Acebo a Negueira



MV
2029

MV-2029. - Turbiditas B en la Formación Agueira. Carretera del Acebo a Nagueira
(O_{2-3})



MV
2030

MV-2030. - Turbiditas A en la Formación Agueira. Destaca el gran espesor de los bancos y la poca proporción de pelitas. Carretera del Acebo a Negueira (O_{2-3})



MV
2031

MV-2031. - Refracción de la esquistosidad de flujo de primera fase al atreverse a niveles arenosos. Formación Agueira. Carretera del Acebo a Negueira (O_{2-3})



MV-2032. - Esquistosidad de flujo de flanco inverso en niveles de la Formación Agueira. Destaca la curvatura que presenta la esquistosidad al atravesar niveles con granoclasificación. Carretera del Acebo a Negueiras (O_{2-3})

MV
2033



MV-2033. - Zona de trituración de una falla al W de Puente Boadil



MV-2034. - Detalle de la fotografía anterior



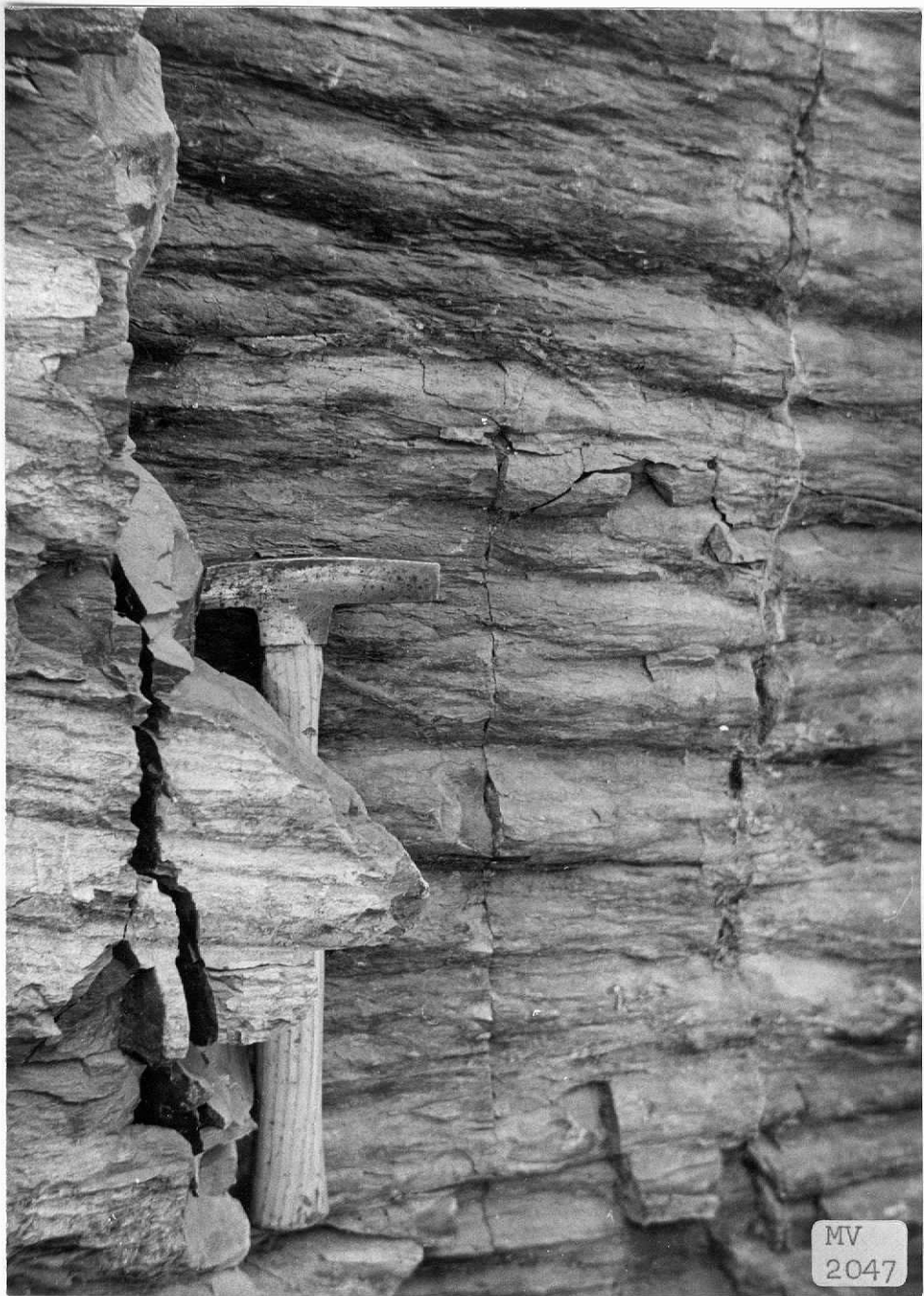
MV-2035. - Niveles superiores de la Serie de los Cabos inmediatamente por debajo de la cuarcita ordovícica en el flanco W del anticlinal de San Martín al pie de Arejo (CA₂-O₁P)



MV-2045. - "Ripple casts" longitudinales a la dirección de las paleocorrientes en la carretera del Acebo a Ibias, al W de Puente Boadil. Formación Agüeira (O₁₋₂)



MV-2046, - Ver MV-2045



MV
2047

MV-2047. - Ver MV-2045

MV-2048. - Ver MV-2045



MV
2048



MV
2049

MV-2049. - Ver MV-2045